

ПРО ВСТАНОВЛЕННЯ СИСТЕМИ ВИСОТ НА РЕГІОН АНТАРКТИКИ

© Марченко О.М., Третяк Н.П., 2007

Розв'язано задачу приведення висот гравіметричного квазігеоїда до среднього рівня океану в регіоні Антарктики, заданого усередненими даними CorSSH шести альтиметричних місій (1992 – 2007 pp). У результаті побудови альтиметро-гравіметричного квазігеоїда отримано значення потенціалу W_0 . Сукупність цих результатів може використовуватись для введення регіональної системи висот, яка зв'язана з гравітаційним полем Землі.

The construction of the regional altimetry-gravimetry quasigeoid is considered. This problem was solved via the regional gravimetry quasigeoid transformation to the mean sea level given by six satellite altimetry missions at time-period 1992-2007. Then the altimetry-gravimetry quasigeoid solution was selected for further computation of the gravity potential W_0 for the Antarctic area. By this, a version of the vertical heights system in accordance with the gravity regional field is proposed.

Постановка проблеми та її зв'язок з важливими науковими завданнями. Геодезичне вивчення Антарктики вимагає практичного розв'язування основної задачі геодезії з урахуванням специфіки цього складного у кліматичному та географічному аспектах регіону. GNSS-технології дають можливість знайти тривимірні координати X , Y , Z пунктів, які трансформуються лише в геодезичну широту B , довготу L і висоту H відносно загальноземного еліпсоїда з початком відліку в центрі мас Землі. Зауважимо, що геодезичні (модельні) висоти, хоча і характеризують наше поняття “висоти”, але вони якісно відрізняються від ортометричних (природних) і нормальних (наближених до природних) висот, які пов'язані відповідно з геоїдом і квазігеоїдом та отримані на основі нівелювання і гравіметричного знімання. Оскільки нормальну систему висот офіційно прийнято у більшості країн, передусім згадасмо, що для обчислення висот точок земної поверхні найбільше використовуються такі основні відлікові поверхні: 1) референц-еліпсоїд, відносно якого задаються геодезичні координати B , L і H точок земної поверхні; 2) гіпсометрична поверхня (телуроїд), яка відображена на топографічних картах або у вигляді нормальних висот H' , або задається так званими DTM – “цифровими моделями висот відносно середнього рівня моря”; 3) аномалія висоти ζ , або висота квазігеода.

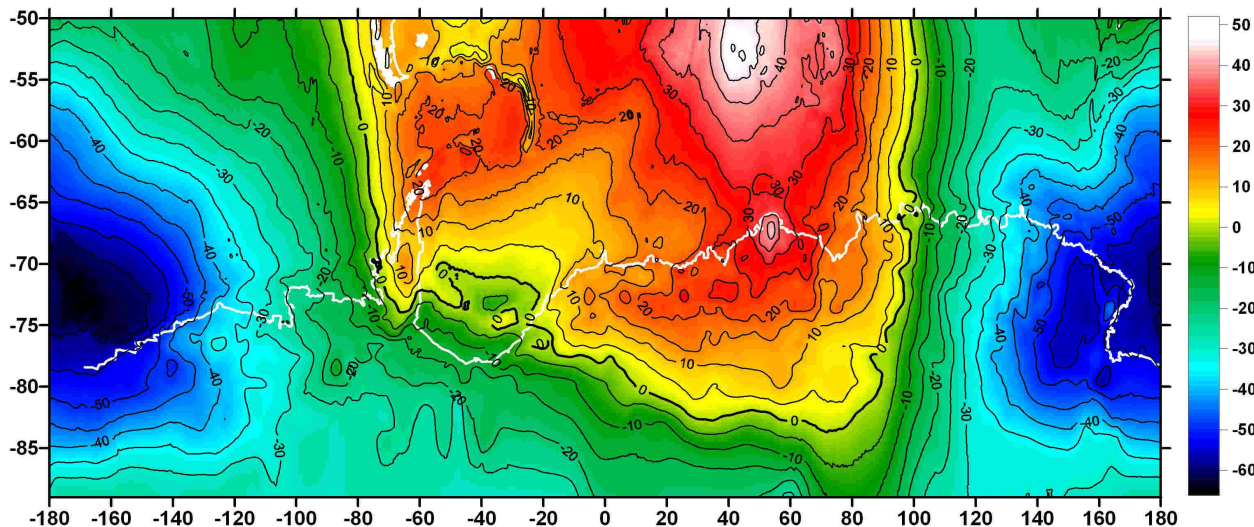


Рис. 1. Висоти квазігеоїда ζ_G на регіон Антарктики (ізолінії проведено через 5 м)

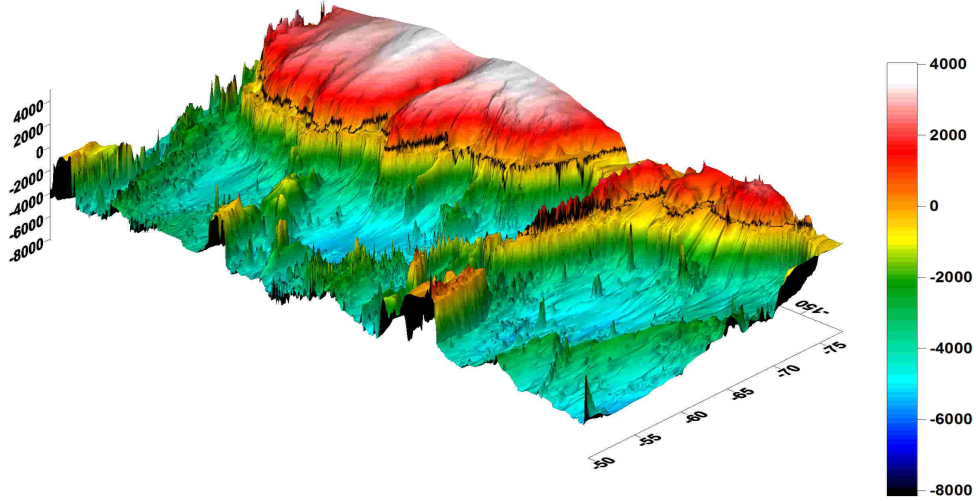


Рис 2. Висоти/глибини [м] на регіон Антарктики згідно з DTM-моделлю GEBCO

Отже, коли йдеться про геодезичне вивчення Антарктичного материка, то GPS-вимірюні геодезичні координати традиційно задаються відносно поверхні загальноземного еліпсоїда WGS84 [11], а висоти квазігеоїда є визначеними, наприклад в [5], на підставі відомих даних гравіметрії (рис. 1). Однак головною особливістю цього регіону, пов'язаною з його географічним розташуванням, є порівняно слабка геодезична вивченість континенту як в плановому, так і у висотному аспектах (що відрізняється лише в окремих локальних ділянках у вигляді достатньо рідких нівелірних мереж), за рахунок чого основними даними про його топографію/батіметрію стає інформація саме у вигляді DTM. Рис. 2. ілюструє висоти/глибини згідно з цифровою моделлю GEBCO з роздільною здатністю ($1' \times 1'$), яка побудована в цьому регіоні на основі супутниковых даних. Проблема побудови DTM з більшою роздільною здатністю і точністю, ніж модель GEBCO, відповідає, мабуть, одній з найактуальніших тут геодезичних задач і потребує передовсім вибору такої системи висот для Антарктичного континенту, яка була б пов'язана як з гравітаційним полем області, що вивчається, так із відомими припливними станціями. Оскільки зазначені вище висоти квазігеоїда і нормальні висоти є величинами відносними, то для їх приведення в єдину систему нижче і розглянуто розв'язання задачі встановлення системи висот для Антарктичного материка, яка була б пов'язана з гравітаційним полем регіону.

Постановка завдання та його розв'язок. Фактична реалізація і ортометричних, і нормальних висот традиційно пов'язана з прийнятим середнім рівнем моря. В умовах або практичної відсутності, або доступу до інформації про зазначені нівелірні мережі, які завжди прив'язані до певного футштока, однією з альтернатив вибору системи висот є пряме використання визначення геоїда як рівневої поверхні, що ототожнюється з незбуреною поверхнею морів і океанів (квазігеоїд ζ збігається з геоїдом на морі) та його безпосередньої прив'язки до середнього рівня моря в регіоні, що вивчається. Зауважимо, що навіть в період Міжнародного полярного року (2007–2008 pp.) ми можемо використати для розв'язання геодезичних задач лише близько 50 доступних GPS-станцій з вимірюннями геодезичними координатами, які задані відносно іншої – модельної поверхні еліпсоїда WGS84. Однак, хоча результати і отримуються в тривимірній геодезичній системі B , L , H , але висоти H не пов'язані з реальним гравітаційним полем Землі й тому не можуть мати великого практичного значення, поки не будуть перетворені, наприклад, у певну систему нормальних висот H' за допомогою відомої формули Молоденського [1,3]:

$$H = H' + \zeta. \quad (1)$$

Побудований гравіметричний квазігеоїд ζ [5] може мати високу відносну точність, але не може бути безпосередньо використаним у формулі (1) через невисоку абсолютну точність, що є загальною характеристикою рисою для гравіметричних розв'язків. Оскільки в акваторіях Світового океану геоїд почали вимірювати методом супутникової альтиметрії після використання гідродинамічної моделі океану або спеціального опрацювання даних альтиметрії [2], то саме тому головною проблемою стає

трансформація гравіметричного квазігеїда до рівня моря або побудова альтиметро-гравіметричного квазігеїда в цьому регіоні на підставі великої кількості даних супутникової альтиметрії (рис. 3). Її практичне розв'язування дає змогу не тільки привести гравіметричний квазігеїд до абсолютноого рівня, але й гарантує визначення за формулою (1) нормальних висот H' на всіх відомих GNSS-пунктах Антарктичного континенту в побудованій таким способом єдиній системі висот, яка буде пов'язана з гравітаційним полем регіону після додаткового визначення потенціалу сили ваги W_0 для приведення окремих футштоків в єдину систему, що пропонується.

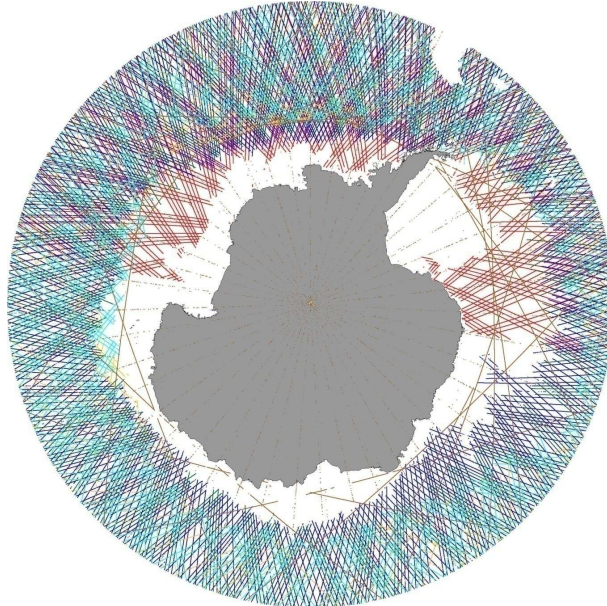


Рис. 3. Розподіл вихідної альтиметричної інформації на досліджуваний регіон

Другорядним, але важливим з погляду подальших практичних робіт питанням, що виникає при розв'язанні поставленої задачі, є оцінка можливих систематичних похибок в аномаліях сили ваги, які були використані в роботі [5] для побудови гравіметричного квазігеїда. Враховуючи зазначене вище, ми зупиняємося спочатку на результатах визначення гравіметричного розв'язку.

Результати побудови гравіметричного квазігеїда. Вихідною інформацією для визначення квазігеїда [5] було прийнято як прямі гравіметричні виміри, так і аномалії сили ваги, що отримані інверсією альтиметричних даних. Апроксимація поля аномалій сили ваги в регіоні Антарктики виконувалась на основі таких гравіметричних даних, що були усереднені на грід ($6' \times 9'$):

- 303 486 точкових даних аномалій сили ваги BGI (Міжнародне гравіметричне бюро);
- ~20 000 000 даних аномалій сили ваги KMS99 і KMS2001 (KMS, Данія) отриманих на гріді ($2' \times 2'$) за даними альтиметрії методом швидкого перетворення Фур'є.

Треба відзначити, що гравіметрична інформація BGI була взята до обробки для покращання розподілу даних KMS [6, 9], особливо у високих широтах. Вихідні дані пройшли попереднє оброблення і були усереднені на рівномірний грід з роздільною здатністю ($6' \times 9'$) з використанням рекурсивного методу найменших квадратів [12]. Замість традиційного методу середньої квадратичної колокації [4], який приводить до обертання матриць за кількістю вимірювань, для розв'язання поставленої задачі з апроксимації збурювального потенціалу T за даними Δg було застосовано послідовний мультипольний аналіз [10] в межах відомої процедури видалення–відновлення з такою послідовністю операцій:

- на точки даних Δg були обчислені модельні значення аномалій сили ваги $\Delta g_{EIGE-CG01C}$ на основі прийнятої моделі гравітаційного поля EIGEN-CG01C, до 360-го порядку/степеня;
- отримано залишкові значення аномалій сили ваги $\delta \Delta g = \Delta g - \Delta g_{EIGE-CG01C}$;
- методом послідовного мультипольного аналізу [10] побудована відповідна регіональна модель залишкових значень збурювального потенціалу δT на базі залишкових значень $\delta \Delta g$;

- спрогнозовано значення залишкових висот квазігеоїда $\delta\zeta$ на основі таких формул:

$$\delta\zeta(P) = \frac{1}{\gamma_P} \sum_{i=1}^{\infty} \frac{m_i^n}{r^{n+1}} \cdot v_n^i(P), \quad \delta\Delta g(P) = \sum_{i=1}^{\infty} \frac{m_i^n}{r^{n+2}} \cdot g_n^i(P), \quad (1)$$

$$v_n^i(P) = \left(\frac{r}{r_i} \right)^{n+1} P_n(\cos \varphi_i), \quad \cos \varphi_i = \frac{r \cos \psi_i - d_i}{r_i}, \quad r_i = \sqrt{r^2 + d_i^2 - 2rd_i \cos \psi_i}, \quad (2)$$

де $\{m_i^n\}$ – коефіцієнти розкладу у ряд за потенціалами радіальних мультиполів v_n^i ; r – геоцентрична відстань від початку координат O до поточної точки P ; d_i – геоцентрична відстань до мультиполя, що розміщена у точці i ; $P_n(\cos \varphi_i)$ – поліном Лежандра степеня n , на основі властивостей якого можна достатньо просто вивести рекурсивні формули для обчислень $\delta\Delta g$ і $\delta\zeta$ та $\delta\eta$ і, зокрема, $\delta\zeta$;

- відновлено висоти квазігеоїда за допомогою прийнятої моделі глобального гравітаційного поля EIGEN-CG01C.

У результаті апроксимації 724330 усереднених на гріді ($6' \times 9'$) значень Δg була побудована модель A20249 регіонального гравітаційного поля з 20249 радіальних мультиполів в регіоні Антарктики, яка наближає вихідні дані аномалій сили ваги з точністю ± 5 мГал. На основі цієї аналітичної моделі A20249 гравітаційного поля були отримані висоти квазігеоїда (рис. 1) на досліджуваний регіон.

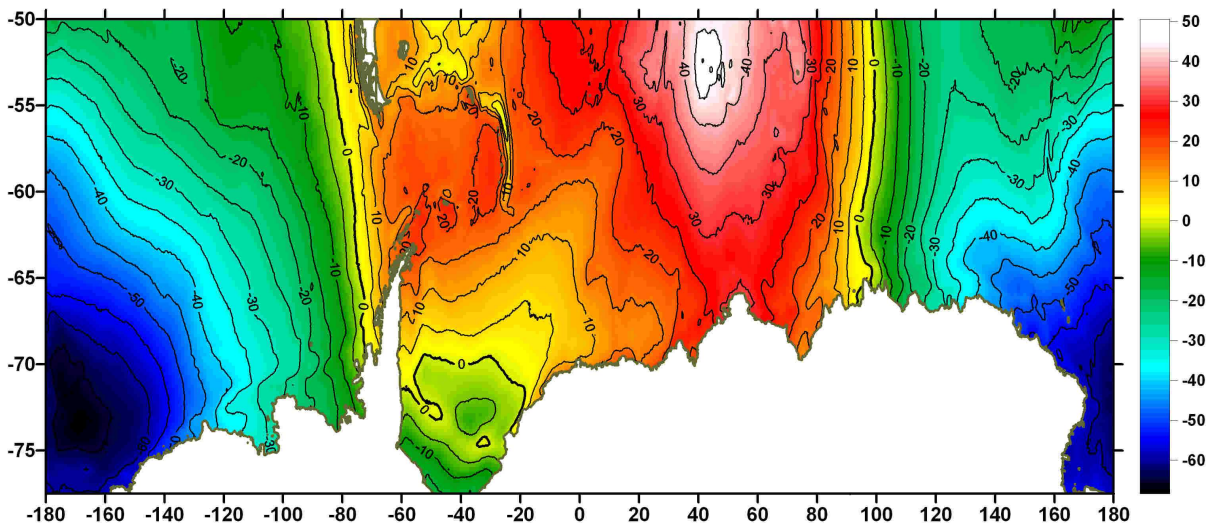


Рис. 4. Висоти поверхні моря CorSSH на регіон Антарктики (ізолінії проведено через 5 м)

Таблиця 1

Статистичні характеристики полів ζ_G і CorSSH (рис. 3, рис. 4)

СТАТИСТИКИ	CorSSH, м	ζ_G , м
Мінімальне відхилення	-68.53	-66.26
Максимальне відхилення	50.54	52.08
Середнє відхилення	-8.81	-7.23
Стандартне відхилення	28.48	28.52

Таблиця 2

Розподіл даних CorSSH за циклами на акваторію Світового океану

Рік	Супутник, номери циклів					
	TOPEX-	ERS-1	ERS-2	GFO	ENVISAT	JASON-1

	POSEIDON					
1992	2-10	1-2	—	—	—	—
1993	11-47	3-13	—	—	—	—
1994	48-83	14-20	—	—	—	—
1995	84-120	21-32	1-6	—	—	—
1996	121-157	33-36	7-17	—	—	—
1997	158-194	—	18-28	—	—	—
1998	195-231	—	29-38	—	—	—
1999	232-267	—	39-48	—	—	—
2000	267-304	—	49-58	37-58	—	—
2001	305-341	—	59-69	59-79	—	—
2002	342-378	—	70-79	80-100	9-12	1-36
2003	379-415	—	80-85	101-122	13-23	37-73
2004	416-453	—	—	123-143	24-33	74-110
2005	454-481	—	—	144-163	34-40	111-135
2006	—	—	—	164-184	41-52	136-171
2007	—	—	—	185-186	—	172-187
Кількість вимірів в околі Антарктиди	43 160870	4 373300	19 323610	18 429307	6 749593	19 391749

Для перевірки отриманого гравіметричного розв'язку висот квазігеоїда було взято виправлені від різного роду впливів і похибок в CSL AVISO [7] альтиметричні дані CorSSH по 6 супутниковых місіях: ERS-1, ERS-2, TOPEX/POSEIDON, GFO, ENVISAT, JASON-1 (рис. 3, рис. 4, табл. 2). Статистики поля CorSSH, приведеного до еліпсоїда WGS84 та гравіметричного квазігеоїда ζ_G в акваторії подано у табл. 1. Враховуючи визначення геоїда, тепер виникає задача з обчислення відхилень гравіметричного квазігеоїда (рис. 1) від поверхні CorSSH, наведеної на рис.4 в системі WGS84, яка нижче приймається за поверхню геоїда $N \approx \text{CorSSH}$.

Результати побудови альтиметро-гравіметричного квазігеоїда. Порівняння висот поля CorSSH, приведеного до еліпсоїда WGS84, з побудованим в системі WGS84 гравіметричним квазігеоїдом ζ_G привело до середнього відхилення -1.6 м, що свідчить про наявність великих систематичних різниць в довгих і середніх хвилях. Оскільки гравіметричний квазігеоїд ζ_G переважно зв'язаний з набором аномалій сили ваги KMS, то додаткове вивчення методики і результатів розв'язків KMS1999 і KMS2001 привело, наприклад, до висновку, що при інверсії даних супутникової альтиметрії SSH в аномалії сили ваги інститутом KMS [6, 9] була використана так звана система "TOPEX/AVISO", велика піввісь еліпсоїда якої відрізняється від еліпсоїда WGS84 на -0.7 м. З огляду на останнє було вирішено привести вихідний квазігеоїд до усередненої поверхні CorSSH. Для цього висоти ζ_G обчислено на сітці з роздільною здатністю $(6' \times 9')$, яка, своєю чергою, мала бути ідентичною з сіткою $(6' \times 9')$ даних CorSSH. Як було зазначено вище, усереднені висоти CorSSH нижче прийнято за "вимірюваний геоїд":

$$\zeta_{AG} \approx \text{CorSSH}, \quad (3)$$

де ζ_{AG} – висоти альтиметро-гравіметричного квазігеоїда. Альтиметро-гравіметричним квазігеоїдом будемо називати вихідний гравіметричний квазігеоїд ζ_G , приведений у систему CorSSH:

$$\zeta_G + h = \zeta_{AG}, \quad (4)$$

де ζ_G – висоти вихідного квазігеоїда, а h – поправка за приведення. Враховуючи розміри регіону та велике значення середнього відхилення, замість переврівноваження регіональної моделі поля на основі лише CorSSH ми застосовуємо перетворення Гельмерта з визначенням лише параметрів $\Delta x, \Delta y, \Delta z$ зсуву однієї системи відносно іншої [8]:

$$\text{CorSSH} - \zeta_G = h + v, \quad h = \cos B \cos L \Delta x + \cos B \sin L \Delta y + \sin B \Delta z, \quad (5)$$

та обчисленням $\Delta x, \Delta y, \Delta z$ за умови мінімізації похибок $[p v v] = \min$ в (5).

З урахуванням вищепередвидених формул запишемо, що

$$CorSSH - \zeta_{AG} = CorSSH - (\zeta_G + h), \quad (6)$$

де ζ_{AG} – висоти альтіметро-гравіметричного або приведеного у систему CorSSH квазігеоїда ζ_G .

З метою оптимального підбору параметрів трансформації для вихідного квазігеоїда ζ_G було розв’язано проміжну задачу із дослідження зміни параметрів перетворення Гельмерта залежно від широтного поясу. Тобто дані з інтерполяційними висотами квазігеоїда ділили на частини, за широтними поясами, а саме ($50^{\circ}\text{S} - 55^{\circ}\text{S}$), ($50^{\circ}\text{S} - 56^{\circ}\text{S}$) ... ($50^{\circ}\text{S} - 79^{\circ}\text{S}$). Далі такі фрагментовані дані були взяті до оброблення для визначення параметрів перетворення. В результаті отримано параметри, які наведено у табл. 3 і побудовано графіки залежності параметрів зсуву від використаного широтного поясу (рис. 5 і рис. 6).

Таблиця 3

Параметри зсуву Δx , Δy , Δz та зміни середнього квадратичного відхилення σ_{rms} і середнього значення A до ($\sigma_{\text{rmsb}}, A_b$) і після ($\sigma_{\text{rmsa}}, A_a$) перетворення Гельмерта (5), обчислені для різниць ($CorSSH - \zeta_{AG}$) залежно від широтного поясу

Широтний пояс, $^{\circ}\text{S}$	σ_{rmsb} , м	σ_{rmsa} , м	A_b , м	A_a , м	Δx , м	Δy , м	Δz , м
50-55	1.173	0.296	-1.037	0.002	-0.9247	-0.5051	1.3216
50-57	1.250	0.324	-1.124	0.004	-0.8760	-0.5122	1.4146
50-60	1.372	0.363	-1.259	0.007	-0.8156	-0.4696	1.5566
50-65	1.548	0.396	-1.449	0.013	-0.7081	-0.3961	1.7448
50-70	1.640	0.407	-1.549	0.016	-0.6315	-0.3280	1.8354
50-75	1.674	0.439	-1.579	0.016	-0.5970	-0.3101	1.8626
50-79	1.680	0.447	-1.583	0.016	-0.5920	-0.3125	1.8656

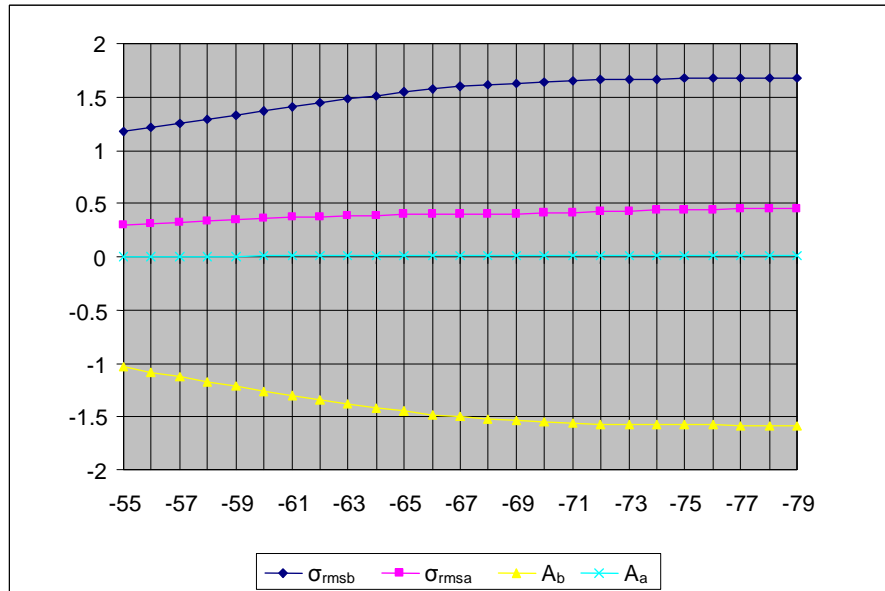


Рис. 5. Зміни середнього квадратичного відхилення σ_{rms} і середнього значення A різниць ($CorSSH - \zeta_{AG}$) залежно від широтного поясу

Для впевненішої оцінки вибраних параметрів додатково враховано дані топографії/батіметрії для досліджуваного регіону (висоти/глибини). Відзначимо, що впевнений вибір широтного поясу океанічної поверхні в регіоні Антарктики є не зовсім простим. З одного боку, добре відомо, що в прибережних зонах альтиметричні дані, як правило, сильно спотворюються. З іншого боку, ще більшого спотворення даних альтиметрії можна очікувати в тих морях Антарктичного континенту, які замерзають повністю, частково або насичені льодовиками. Тому як додаткову інформацію використано батіметричну модель Світового океану – GEBCO з роздільною здатністю ($1' \times 1'$). Вихідні дані було приведено в потрібний для

оброблення формат і прогрідано в регіоні, аналогічному нашому квазігеоїду. Як можна побачити з рис. 2 і рис. 7, "небезпечною" зоною тут є протока Дрейка, однак 57-ма паралель проходить посередині останньої. Це дає надійнішу гарантію того, що ми уникнемо спотворень, пов'язаних з особливостями географії та клімату Антарктики, якщо як основний широтний пояс виберемо широтну зону (50°S – 57°S) та відповідні дані CorSSH, попередньо приведені в систему WGS84.

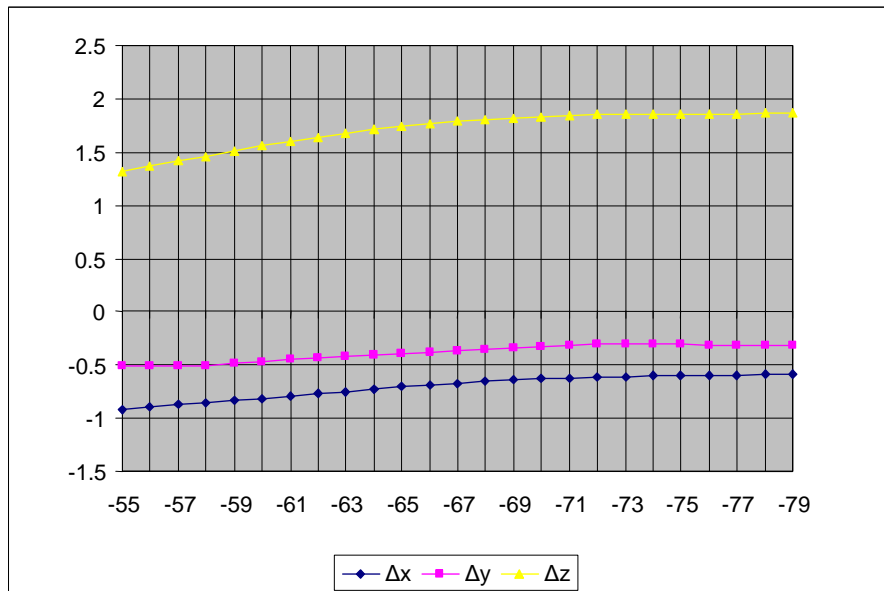


Рис. 6. Зміни значень параметрів перетворення Гельмерта залежно від широтного поясу

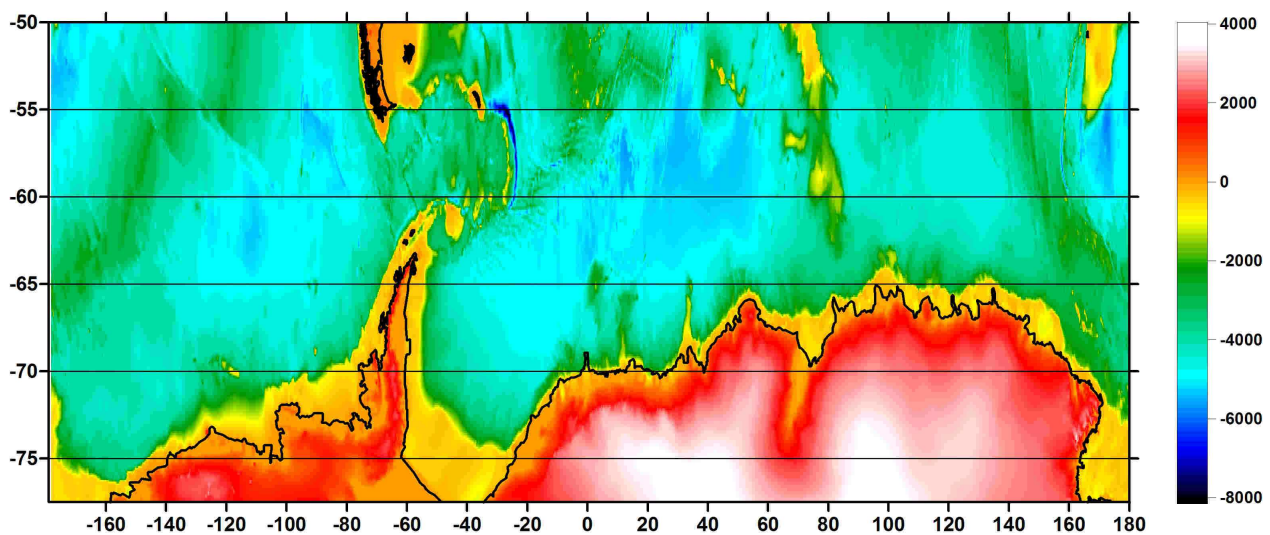


Рис 7. Двовимірна схема висот/глибин на регіон Антарктиди на основі моделі GEBCO

Таблиця 4

Статистики трансформованого ζ_{AG} та його співвідношення з вихідними поверхнями

СТАТИСТИКИ	ζ_{AG} , м	CorSSH- ζ_{AG} , м	$\zeta_G - \zeta_{AG}$, м
Мінімальне відхилення	-67.341	-4.232	0.434
Максимальне відхилення	50.354	5.851	1.741
Середнє відхилення	-10.084	-0.385	1.269

Стандартне відхилення	27.857	0.478	0.327
-----------------------	--------	-------	-------

Отже, враховуючи дослідження щодо зміни параметрів перетворення, остаточно для трансформації вихідного квазігеїда було вибрано значення CorSSH на гріді $6' \times 9'$, які відповідають зазначеному широтному поясу від 50°S до 57°S . Після використання відповідних параметрів Гельмерта з табл. 3 ми отримуємо таким способом трансформований у систему CorSSH альтиметро-гравіметричний квазігеїд ζ_{AG} (рис. 8) із статистиками, наведеними у табл. 4.

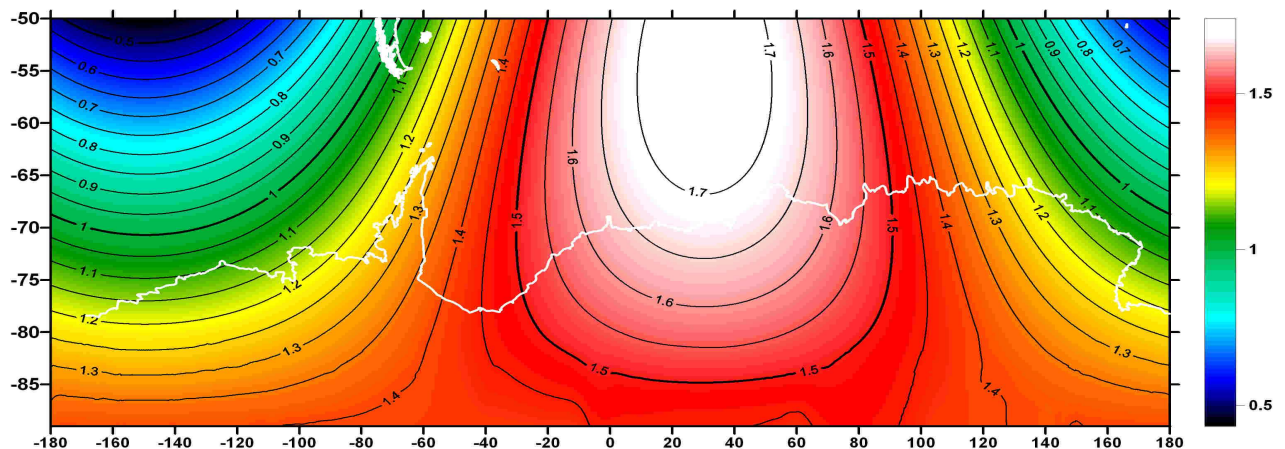


Рис. 8. Різниці ($\zeta_G - \zeta_{AG}$) між двома квазігеоїдами (ізолінії проведено через 0.1 м)

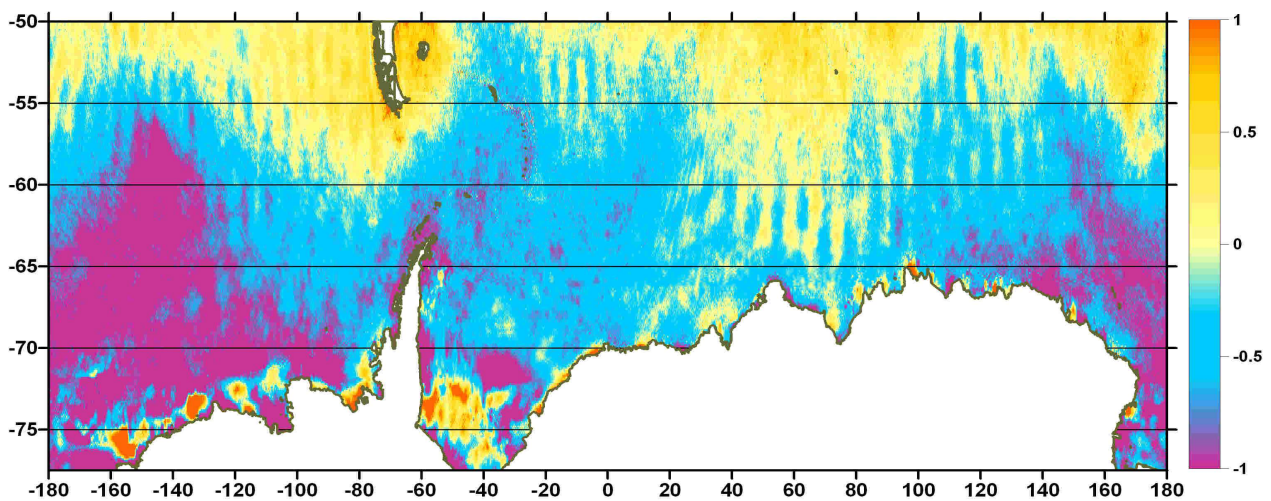


Рис. 9. Різниці ($\text{CorSSH}-\zeta_{\text{AG}}$) між поверхнею CorSSH та трансформованим квазігеїдом

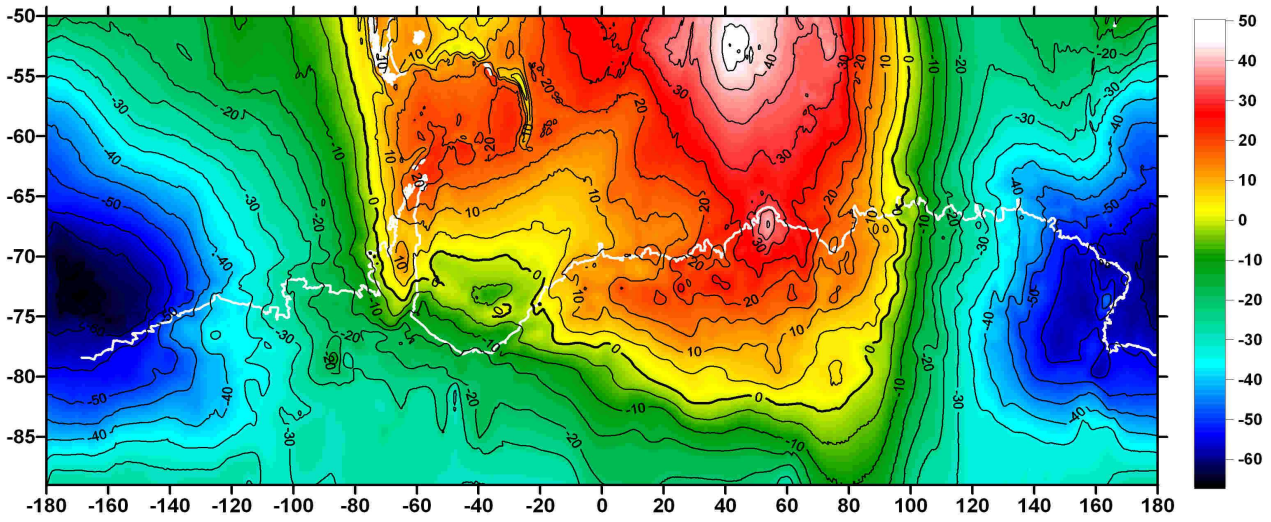


Рис. 10. Альтиметро-гравіметричний квазігеоїд ζ_{AG} (ізолінії проведено через 5 м)

Рис. 8 демонструє зазначені розходження в довгих та середніх хвилях між вихідним гравіметричним квазігеоїдом ζ_G (рис. 1) і альтиметро-гравіметричним квазігеоїдом ζ_{AG} (рис. 10). Після побудови ζ_{AG} було виконано порівняння між даними CorSSH (рис. 4) та альтиметро-гравіметричним квазігеоїдом ζ_{AG} . Статистики отриманих різниць (CorSSH- ζ_{AG}) подано в табл. 4. Оскільки і гравіметричний квазігеоїд ζ_G , і альтиметро-гравіметричний квазігеоїд ζ_{AG} переважно є зв'язаними з набором даних Δg KMS, то рис. 9 з різницями (CorSSH- ζ_{AG}) фактично, ілюструє окремі невизначеності в середніх і коротких хвилях відносно поля CorSSH. Ще раз зауважимо, що як вихідну інформацію для побудови ζ_G було прийнято [5] усереднені за трапеціями ($6' \times 9'$) аномалії сили ваги KMS. Останнє дало змогу уникнути специфічних невизначеностей прийнятого в KMS підходу незалежної обробки даних за трапеціями ($1^\circ \times 5^\circ$) без додаткового їхнього узгодження на стиках трапецій [6, 9], яка призводить до різниць в окремих місцях більше за 10 мГал, однак за рахунок усереднення не знайшла відповідного відображення у висотах ζ_{AG} і ζ_G . Остаточні невизначеності в середніх і коротких хвилях тепер зумовлені як різними наборами вихідних даних, прийнятими в KMS та цій роботі, так і істотною *неоднорідністю* розподілу альтиметричної інформації, яка відзначається в усереднених за тими самими трапеціями CorSSH.

Результати визначення потенціалу сили ваги W_0 . Згідно з узагальненою теоремою Брунса [8] та стандартним поданням зовнішнього гравітаційного потенціалу V Землі висоти квазігеоїда ζ можуть бути обчисленими за формулами [2]:

$$\zeta = \zeta_0 + \frac{GM_M}{r\gamma} \sum_{n=2}^{K^*} \left(\frac{a_M}{r} \right)^n \sum_{m=0}^n (\Delta \bar{C}_{nm} \cos m\lambda + \bar{S}_{nm} \sin m\lambda) \bar{P}_{nm}(\cos \vartheta), \quad (7)$$

$$\Delta \bar{C}_{nm} = \bar{C}_{nm} - \frac{GM}{GM_M} \left(\frac{a}{a_M} \right)^n \bar{C}_{nm}^e, \quad \zeta_0 = \frac{GM_M - GM}{r\gamma} - \frac{W_0 - U_0}{\gamma}, \quad (8)$$

в яких $(\bar{C}_{nm}, \bar{S}_{nm})$ і \bar{C}_{nm}^e – повністю нормовані гармонічні коефіцієнти гравітаційного потенціалу Землі та потенціалу нормального еліпсоїда відповідно; $\bar{P}_{nm}(\cos \vartheta)$ – повністю нормовані приєднані функції Лежандра; GM_M – добуток гравітаційної сталої на масу Землі прийнятої моделі гравітаційного поля; a_M – велика піввісь земного еліпсоїда, до якої віднесені коефіцієнти $\bar{C}_{nm}, \bar{S}_{nm}$; GM та a – відповідні константи нормального еліпсоїда; K^* – максимальний порядок розкладу потенціалу V в ряд; W_0 – потенціал сили ваги на поверхні квазігеоїда ζ в акваторії; U_0 – нормальній потенціал сили ваги на поверхні прийнятого рівневого еліпсоїда ($U=\text{const}=U_0$); ζ_0 – так звана ондуляція нульового порядку.

Отже, оскільки в нашому випадку поверхня квазігеоїда ζ_{AG} збігається у широтному поясі ($50^{\circ}\text{S} - 57^{\circ}\text{S}$) з середньою топографічною поверхнею Світового океану з стандартним відхиленням $\sigma=0.3$ м (при нульовому середньому відхиленні), то висоти ζ_{AG} можуть бути прийнятими як “вимірюні” висоти геоїда, а вибір моделі гравітаційного поля Землі високої роздільної здатності дає просту можливість оцінювання ζ_0 і – згідно з (8) – середнього значення W_0 потенціалу сили ваги для акваторії Світового океану у зазначеному широтному поясі ($50^{\circ}\text{S} - 57^{\circ}\text{S}$). Обчислення ζ_0 та W_0 було виконано на основі (7) – (8), моделі EIGEN-CG01C та референцної системи WGS84. На першому етапі було отримано поле залишкових висот геоїда та $\zeta_0=-1.133$ м для моделі EIGEN-CG01C. Після підстановки одержаних значень ζ_0 в (8) тепер не становить труднощів і обчислення W_0 для акваторії, яке набуває для регіону Антарктики значення $W_{0\text{Antarctic}}=62636862.80 \text{ m}^2/\text{c}^2$. Обчислення ζ_0 на основі безпосереднього використання CorSSH замість ζ_{AG} дає відповідні величини $\zeta_0=-1.129$ м і $W_{0\text{Antarctic}}=62636862.76 \text{ m}^2/\text{c}^2$. Зауважимо, що обчислене W_0 для всієї акваторії Світового океану становить значення $W_0=62636855.77 \pm 0.4 \text{ m}^2/\text{c}^2$ [2] і дає змогу зробити висновок про оцінку різниці між такими двома рівнями близько $(W_0 - W_{0\text{Antarctic}})/\gamma = -0.71$ м.

Висновки. Отже, на основі визначення геоїда як рівневої поверхні, що ототожнюється з незбуреною поверхнею морів і океанів, в роботі отримано альтиметро-гравіметричний квазігеоїд на регіон Антарктики за допомогою безпосередньої прив'язки гравіметричного розв'язку до середнього рівня моря. Для цього модель регіонального гравіметричного квазігеоїда була узгоджена у вибраному широтному поясі ($50^{\circ}\text{S}-57^{\circ}\text{S}$) з середньою топографічною поверхнею CorSSH Світового океану, яка задана сукупністю усереднених на гріді ($6'\times9'$) даних альтиметрії CorSSH з шести альтиметричних місяців. Точність такого узгодження характеризується стандартним відхиленням близько ± 0.3 м між CorSSH та результатуючим квазігеоїдом. На наступному етапі додатково оцінено регіональне значення потенціалу сили ваги $W_{0\text{Antarctic}}=62636862.76 \text{ m}^2/\text{c}^2$. Сукупність результатів, що обговорюються, уможливлює тепер введення регіональної висотної системи, пов'язаної з гравітаційним полем Землі через отримане значення $W_{0\text{Antarctic}}=62636862.76 \text{ m}^2/\text{c}^2$ потенціалу сили ваги і гарантує як визначення за формулою Молоденського нормальних висот H' на всіх відомих GPS-пунктах Антарктичного континента в побудованій системі висот, так і приведення окремих футштоків в єдину систему, що пропонується.

1. Марченко О. М. *Про перетворення висот і пов'язаних із ними величин* // Вісник геодезії та картографії. – Київ, 2007, №3. – С.3–12.
2. Марченко О.М. Ярема Н.П. *Визначення середніх рівнів Балтійського і Чорного морів та їх змін у часі* // Вісник геодезії та картографії. – Київ, 2006, №6. – С.2–9.
3. Молоденський М.С., Еремеев В.Ф., Юркина М.И. *Методы изучения внешнего гравитационного поля и фигуры Земли*. – Тр. ЦНИИГАиК. – М., 1960. – Вып. 131. – 251 с.
4. Мориц Г. *Современная физическая геодезия*. – М. – Недра. – 1983. – 392 с.
5. Третяк Н.П. *Моделювання поля аномалій сили ваги, висот геоїда та складових відхилень прямовисної лінії на регіон Антарктики* // Геодезія, картографія і аерофотознімання. Вип. 68. 2007. Львів – 2007. – С. 109–114.
6. Andersen O.B. and P. Knudsen, *Geodetic marine gravity field from the ERS-1 and Geosat geodetic mission altimetry*. Journal of Geophysical Research, Vol.103, No C4, pp. 8129-8137.
7. CSL AVISO: http://www.jason.oceanobs.com/html/donnees/produits/gdr_uk.html#dt.
8. Hofmann-Wellenhof B. and H. Moritz, *Physical Geodesy*. Springer, Wien New York, 2005, 403 p.
9. Knudsen, P., and O. B. Andersen, *Global marine gravity and mean sea surface from multimission satellite altimetry* // In: "Geodesy on the Move, Gravity, geoid, geodynamics and Antarctica", IAG scientific assembly, Rio de Janeiro, Brazil, sept 3-9 1997, Eds, Forsberg, Feissel and Dietrich., IAG symposia, 119, 132-138, Springer Verlag, Berlin, 1998.
10. Marchenko A.N., *Parameterization of the Earth's Gravity Field*. – Lviv: Lviv Astronomical and Geodetic Society, 1998. – 208 p.
11. NIMA WGS84 Update Committee (1997) *Department of Defense World Geodetic System 1984 Its Definition and Relationships with Local Geodetic Systems* // National Imagery and Mapping Agency (NIMA) . – technical report 8350.2. – Third Edition. – 1997. – 171 p.
12. Strang G., Borre K. *Linear algebra, geodesy and GPS* // Wellesley-Cambridge Press, 1997. – 624 p.